



アンテナ・伝播研究会(2014.05.29)

PSAM QO-STBC アダプティブアレー - その理論的根拠 -

唐沢 好男

Tiako Juimo Walter

電気通信大学(UEC Tokyo)

先端ワイヤレスコミュニケーション研究センター(AWCC)



発表の内容

- 1) PSAM QO-STBC アダプティブアレー
- 2) 受信ウェイトの理論的根拠
 - 4 × 1 1ストリーム伝送
 - 8 × 2 2ストリーム伝送
- 3) 分散アンテナシステム(DAS)への応用



MIMOにおいては、

大規模化 (Massive MIMO)

分散アンテナ (基地局連携)

が志向されているが、規模が大きくなると制御も大規模になり、高速フェージング (ファーストフェージング) が、制御の物理限界を引き起こすことになる。

→ 高速フェージングに耐性を有するアレー信号処理技術が重要になる



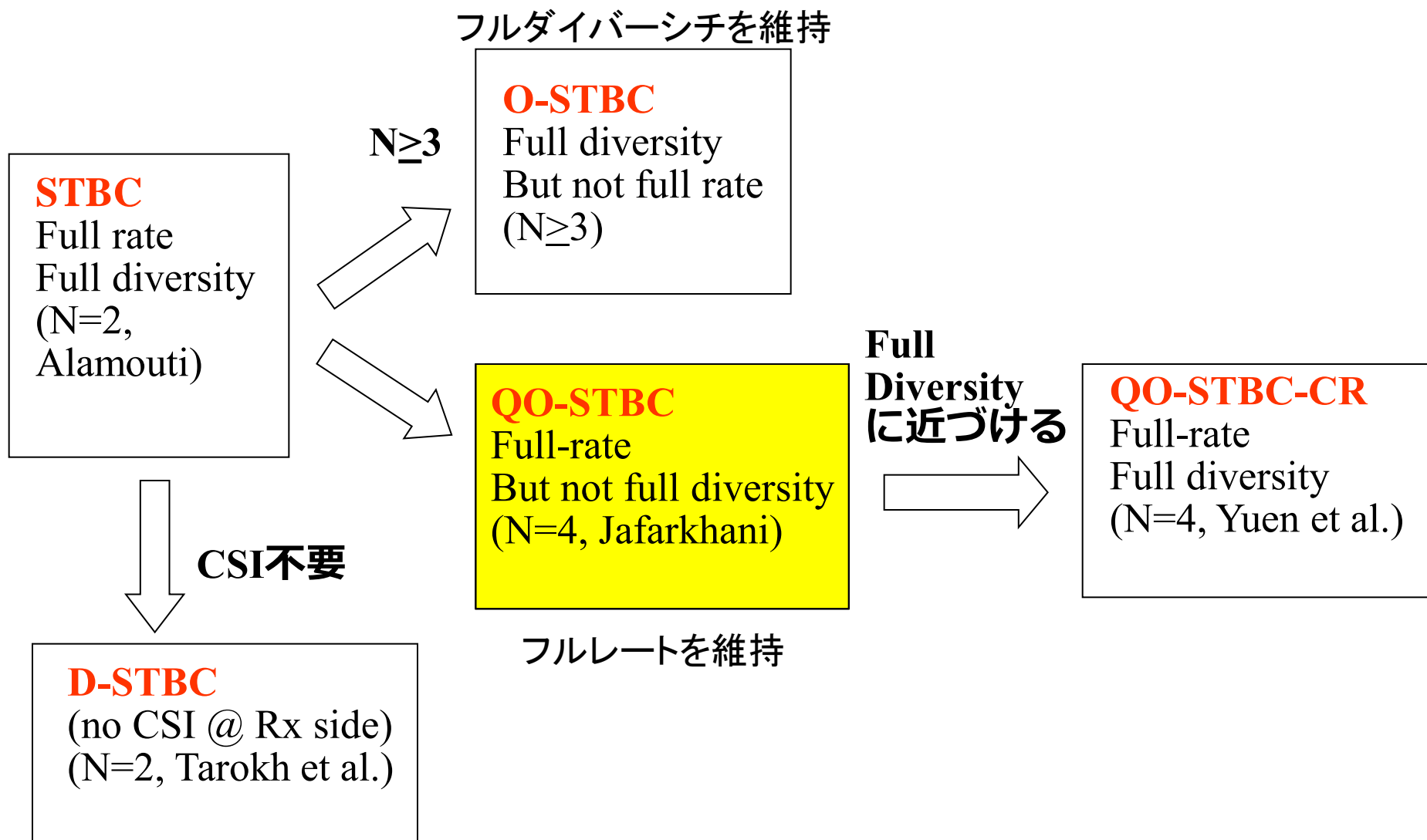
PSAM QO-STBC アダプティブアレー

Quasi-Orthogonal Space-Time Block Coding
準直交時空間ブロック符号化

Pilot Symbol Assisted Modulation
(パイロット信号組込型変調)



STBC進化の系譜





QO-STBC 信号表現(1)

$$\mathbf{r} = \mathbf{h}\mathbf{S} + \mathbf{n}$$

時間

$$\mathbf{S} = \begin{pmatrix} \begin{matrix} s_1 & -s_2^* \\ s_2 & s_1^* \end{matrix} & \begin{matrix} -s_3^* & s_4 \\ -s_4^* & -s_3 \end{matrix} \\ \begin{matrix} s_3 & -s_4^* \\ s_4 & s_3^* \end{matrix} & \begin{matrix} s_1^* & -s_2 \\ s_2^* & s_1 \end{matrix} \end{pmatrix}$$

アンテナ

4本のアンテナから
4つのシンボル情報を
4の時間をかけて送る

$$\mathbf{r} = (r_1 \quad r_2 \quad r_3 \quad r_4)$$

$$\mathbf{h} = (h_1 \quad h_2 \quad h_3 \quad h_4)$$

$$\mathbf{n} = (n_1 \quad n_2 \quad n_3 \quad n_4)$$



QO-STBC 信号表現(2)

前スライドの式を送信信号を右のベクトルで表すと、伝搬チャネルが行列表現に書き換えられる。(表現は変わっているが、表していることは、全く同じである)

$$\mathbf{r}_e = \mathbf{H}_e \mathbf{s} + \mathbf{n}_e$$

$$\mathbf{r}_e = (r_1 \quad r_2^* \quad r_3^* \quad r_4)^T$$

$$\mathbf{s} = (s_1 \quad s_2 \quad s_3 \quad s_4)^T$$

$$\mathbf{H}_e = \begin{pmatrix} h_1 & h_2 & h_3 & h_4 \\ h_2^* & -h_1^* & h_4^* & -h_3^* \\ h_3^* & h_4^* & -h_1^* & -h_2^* \\ h_4 & -h_3 & -h_2 & h_1 \end{pmatrix}$$

$$\mathbf{n}_e = (n_1 \quad n_2^* \quad n_3^* \quad n_4)^T$$



受信信号処理

$$\mathbf{r}_e = \mathbf{H}_e \mathbf{s} + \mathbf{n}_e$$

$$\tilde{\mathbf{s}} = \mathbf{W}^H \mathbf{r}_e = \mathbf{W}^H (\mathbf{H}_e \mathbf{s} + \mathbf{n}_e)$$

$$\mathbf{H}_e^H \mathbf{H}_e = \begin{pmatrix} A & 0 & 0 & \alpha \\ 0 & A & -\alpha & 0 \\ 0 & -\alpha & A & 0 \\ \alpha & 0 & 0 & A \end{pmatrix}$$

$$A = |h_1|^2 + |h_2|^2 + |h_3|^2 + |h_4|^2$$

$$\alpha = h_1 h_4^* + h_1^* h_4 - h_2 h_3^* - h_2^* h_3$$

ウェイトの決め方において

$$\mathbf{W} (\equiv \mathbf{W}_1) = \mathbf{H}_e \quad \leftarrow$$

準直交のため、
完全分離できず

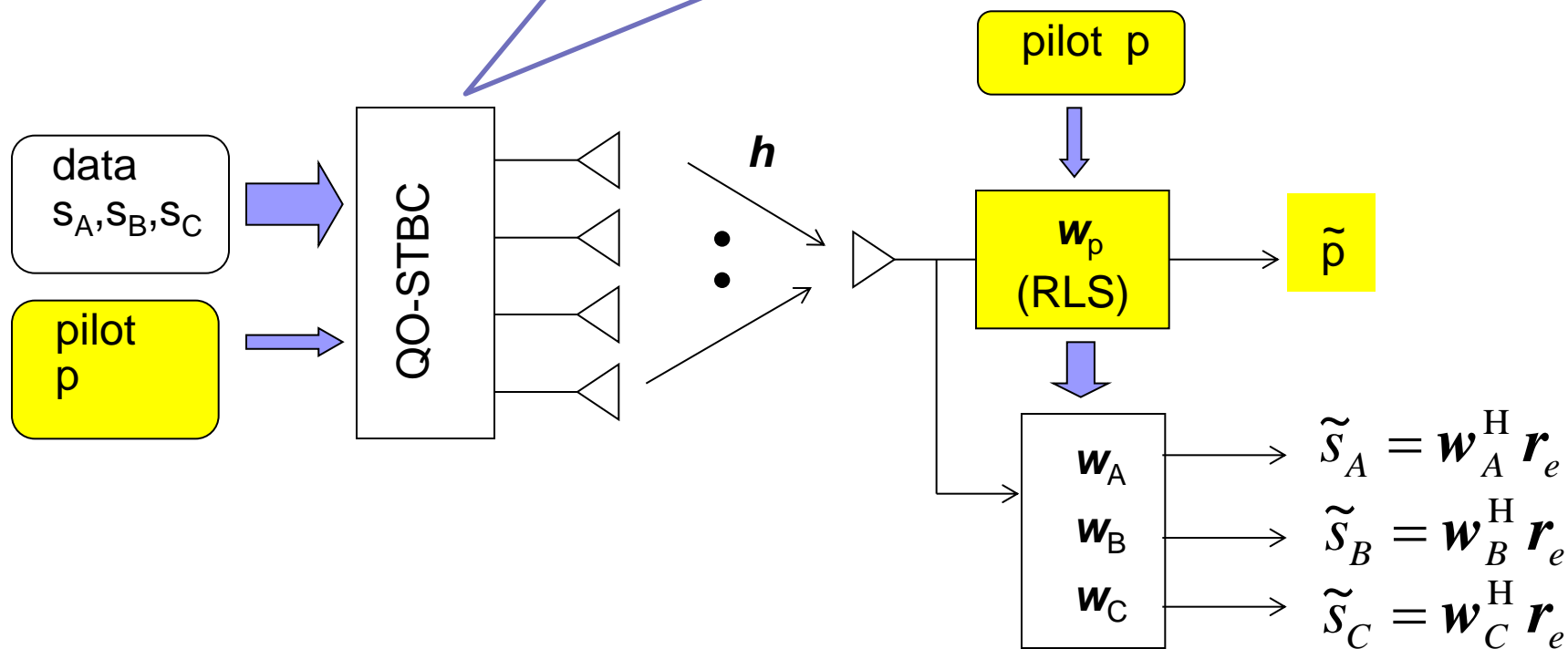
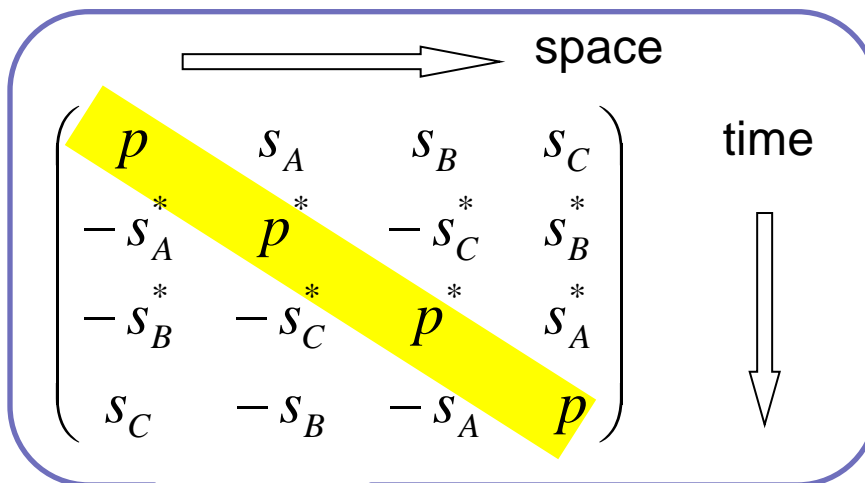
$$\mathbf{W} (\equiv \mathbf{W}_2) = (\mathbf{H}_e^{-1})^H \quad \leftarrow$$

準直交のため、
成分間非線形

$$\mathbf{W} (\equiv \mathbf{W}_3) \quad (\text{PSAM / MMSE で定める})$$

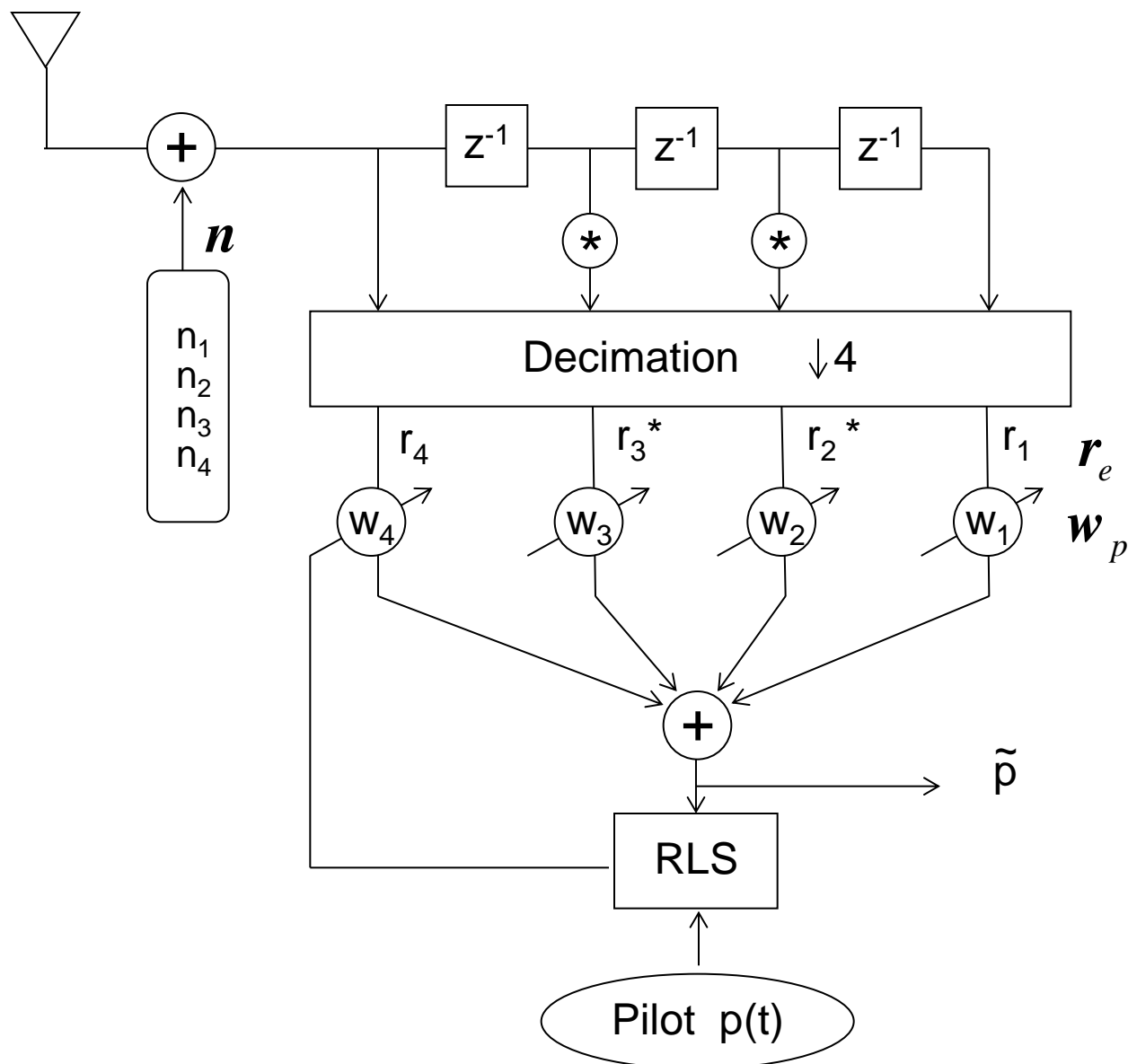


PSAM QO-STBC



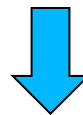


Adaptive Receiving Scheme for Pilot Signal



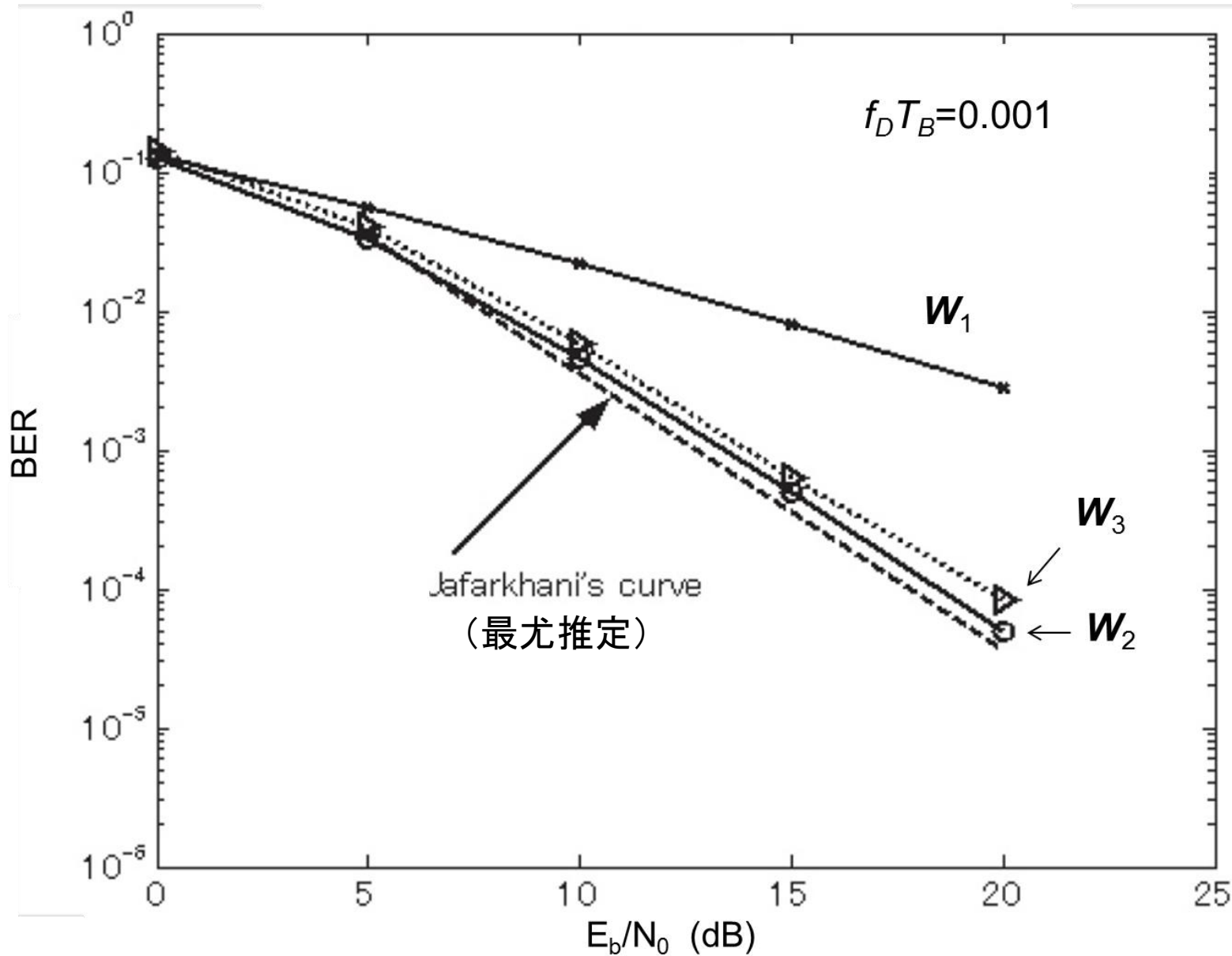


$$\mathbf{W}_1 = \mathbf{H}_e = \begin{pmatrix} h_1 & h_2 & h_3 & h_4 \\ h_2^* & -h_1^* & h_4^* & -h_3^* \\ h_3^* & h_4^* & -h_1^* & -h_2^* \\ h_4 & -h_3 & -h_2 & h_1 \end{pmatrix} \equiv (\mathbf{h}_p \quad \mathbf{h}_A \quad \mathbf{h}_B \quad \mathbf{h}_C)$$



\mathbf{W}_1 の値はそのままには使えないが
要素間の関係は使える(?)

$$\mathbf{W}_3^T = \begin{pmatrix} w_1 & w_2 & w_3 & w_4 \\ w_2^* & -w_1^* & w_4^* & -w_3^* \\ w_3^* & w_4^* & -w_1^* & -w_2^* \\ w_4 & -w_3 & -w_2 & w_1 \end{pmatrix} \begin{matrix} \mathbf{w}_p^T \\ \downarrow \\ \mathbf{w}_A^T \\ \mathbf{w}_B^T \\ \mathbf{w}_C^T \end{matrix}$$





試行錯誤的な方法(経験的な方法)で合成ウェイトを見出し、結果として、うまく行っていたが、理論的根拠を得ていなかった

$$W \equiv (w_p \quad w_A \quad w_B \quad w_C)$$

$$= \begin{pmatrix} w_1 & w_2^* & w_3^* & w_4 \\ w_2 & -w_1^* & w_4^* & -w_3 \\ w_3 & w_4^* & -w_1^* & -w_2 \\ w_4 & -w_3^* & -w_2^* & w_1 \end{pmatrix}$$

このやり方で
なぜうまくゆくのか？

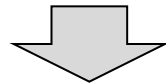


SNRが十分大きいとき、パイロット信号に対して最適化受信（適応受信）を行えば、ウェイトの自由度が足りているので、信号成分 (s_A, s_B, s_C) は、すべてキャンセルされているはず

$$\mathbf{w}_p^H \mathbf{h}_p = a \quad \mathbf{w}_p^H \mathbf{h}_A = \mathbf{w}_p^H \mathbf{h}_B = \mathbf{w}_p^H \mathbf{h}_C = 0$$

この時、パイロット信号に受信で得られたウェイト \mathbf{w}_p から変換して求めたウェイト \mathbf{w}_A での受信信号を見ると

$$\mathbf{w}_p = (w_1 \quad w_2 \quad w_3 \quad w_4)^T \rightarrow \mathbf{w}_A = (w_2^* \quad -w_1^* \quad w_4^* \quad -w_3^*)^T$$



$$\mathbf{w}_A^H \mathbf{h}_p = w_2 h_1 - w_1 h_2^* + w_4 h_3^* - w_3 h_4 = -(\mathbf{w}_p^H \mathbf{h}_A)^* = 0$$

$$\mathbf{w}_A^H \mathbf{h}_A = w_2 h_2 + w_1 h_1^* + w_4 h_4^* + w_3 h_3 = (\mathbf{w}_p^H \mathbf{h}_p)^* = a^*$$

$$\mathbf{w}_A^H \mathbf{h}_B = w_2 h_3 - w_1 h_4^* - w_4 h_1^* + w_3 h_2 = -(\mathbf{w}_p^H \mathbf{h}_C)^* = 0$$

$$\mathbf{w}_A^H \mathbf{h}_C = w_2 h_4 + w_1 h_3^* - w_4 h_2^* - w_3 h_1 = (\mathbf{w}_p^H \mathbf{h}_B)^* = 0$$



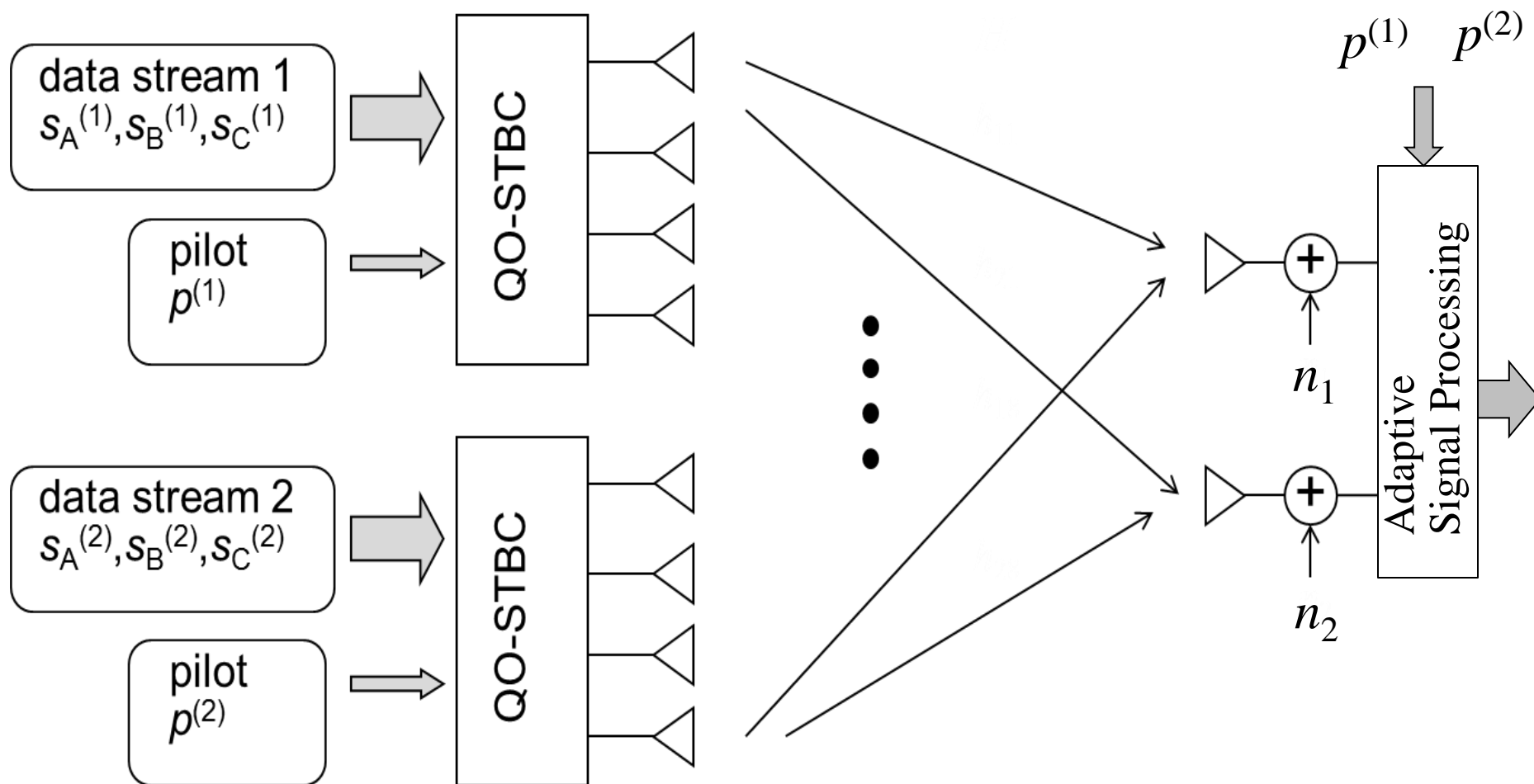
w_B, w_C も同様な形になり、次式で整理される

$$W^H H_e = \begin{pmatrix} a & 0 & 0 & 0 \\ 0 & a^* & 0 & 0 \\ 0 & 0 & a^* & 0 \\ 0 & 0 & 0 & a \end{pmatrix}$$

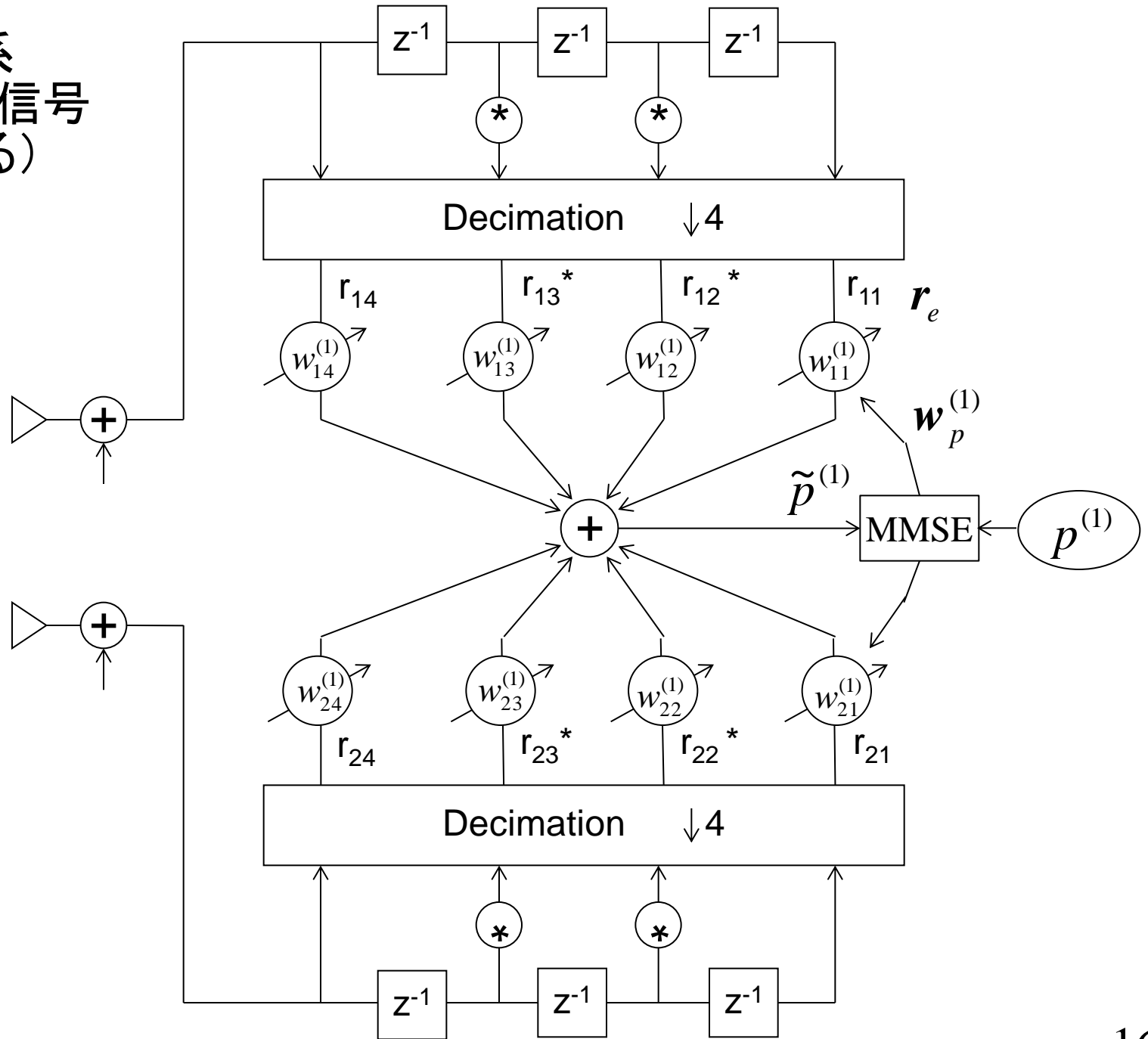
このようにして、CNRが十分大きい場合には、ウェイト W で、信号 p, s_A, s_B, s_C を完全、かつ、同等に分離できる

実際には、CNR有限での動作になるが、最小平均誤差規範でウェイト決定をしているため、雑音の影響も、信号 p, s_A, s_B, s_C に対して同等と考えてよい

PSAM QO-STBC 2ストリーム伝送



適応受信系
(パイロット信号
 $p^{(1)}$ に対する)





受信信号表現

$$\mathbf{r}_e = \mathbf{H}_e \mathbf{s} + \mathbf{n}_e$$

$$\mathbf{r}_e = \left(r_{11} \quad r_{12}^* \quad r_{13}^* \quad r_{14} \quad r_{21} \quad r_{22}^* \quad r_{23}^* \quad r_{24} \right)^T$$

$$\mathbf{s} = \left(p^{(1)} \quad s_A^{(1)} \quad s_B^{(1)} \quad s_C^{(1)} \quad p^{(2)} \quad s_A^{(2)} \quad s_B^{(2)} \quad s_C^{(2)} \right)^T$$

$$\mathbf{n}_e = \left(n_{11} \quad n_{12}^* \quad n_{13}^* \quad n_{14} \quad n_{21} \quad n_{22}^* \quad n_{23}^* \quad n_{24} \right)^T$$

$$\mathbf{H}_e = \begin{pmatrix} \mathbf{H}_{e1}^{(1)} & \mathbf{H}_{e1}^{(2)} \\ \mathbf{H}_{e2}^{(1)} & \mathbf{H}_{e2}^{(2)} \end{pmatrix}$$

$$\equiv \left(\mathbf{h}_p^{(1)} \quad \mathbf{h}_A^{(1)} \quad \mathbf{h}_B^{(1)} \quad \mathbf{h}_C^{(1)} \quad \mathbf{h}_p^{(2)} \quad \mathbf{h}_A^{(2)} \quad \mathbf{h}_B^{(2)} \quad \mathbf{h}_C^{(2)} \right)$$

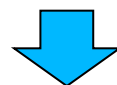
$$\mathbf{H}_{e1}^{(1)} = \begin{pmatrix} h_{11} & h_{12} & h_{13} & h_{14} \\ h_{12}^* & -h_{11}^* & h_{14}^* & -h_{13}^* \\ h_{13}^* & h_{14}^* & -h_{11}^* & -h_{12}^* \\ h_{14} & -h_{13} & -h_{12} & h_{11} \end{pmatrix}$$



ウェイトの形

$$\begin{aligned}
 \mathbf{W} &= \begin{pmatrix} \mathbf{W}_1^{(1)} & \mathbf{W}_1^{(2)} \\ \mathbf{W}_2^{(1)} & \mathbf{W}_2^{(2)} \end{pmatrix} \\
 &\equiv \left(\mathbf{w}_p^{(1)} \quad \mathbf{w}_A^{(1)} \quad \mathbf{w}_B^{(1)} \quad \mathbf{w}_C^{(1)} \quad \mathbf{w}^{(2)} \quad \mathbf{w}_A^{(2)} \quad \mathbf{w}_B^{(2)} \quad \mathbf{w}_C^{(2)} \right) \\
 \mathbf{W}_i^{(j)} &= \begin{pmatrix} w_{i1}^{(j)} & w_{i2}^{(j)*} & w_{i3}^{(j)*} & w_{i4}^{(j)} \\ w_{i2}^{(j)} & -w_{i1}^{(j)*} & w_{i4}^{(j)*} & -w_{i3}^{(j)} \\ w_{i3}^{(j)} & w_{i4}^{(j)*} & -w_{i1}^{(j)*} & -w_{i2}^{(j)} \\ w_{i4}^{(j)} & -w_{i3}^{(j)*} & -w_{i2}^{(j)*} & w_{i1}^{(j)} \end{pmatrix} \quad i, j = \{1, 2\}
 \end{aligned}$$

ウェイト $\mathbf{w}_p^{(1)}$ が満たすべき条件



$$\begin{aligned}
 \mathbf{w}_p^{(1)\text{H}} \mathbf{h}_p^{(1)} &= b \\
 \mathbf{w}_p^{(1)\text{H}} \mathbf{h}_A^{(1)} &= \mathbf{w}_p^{(1)\text{H}} \mathbf{h}_B^{(1)} = \mathbf{w}_p^{(1)\text{H}} \mathbf{h}_C^{(1)} = \mathbf{w}_p^{(1)\text{H}} \mathbf{h}_p^{(2)} \\
 &= \mathbf{w}_p^{(1)\text{H}} \mathbf{h}_A^{(2)} = \mathbf{w}_p^{(1)\text{H}} \mathbf{h}_B^{(2)} = \mathbf{w}_p^{(1)\text{H}} \mathbf{h}_C^{(2)} = 0
 \end{aligned}$$



このとき、 $\mathbf{w}_A^{(1)}$ のウェイトに対しては

$$\begin{aligned} \mathbf{w}_A^{(1)H} \mathbf{h}_p^{(1)} &= w_{12}^{(1)} h_{11} - w_{11}^{(1)} h_{12}^* + w_{14}^{(1)} h_{13}^* - w_{13}^{(1)} h_{14} + w_{22}^{(1)} h_{21} \\ &\quad - w_{21}^{(1)} h_{22}^* + w_{24}^{(1)} h_{23}^* - w_{23}^{(1)} h_{24} = -\left(\mathbf{w}_p^{(1)H} \mathbf{h}_A^{(1)}\right)^* = 0 \end{aligned}$$

$$\begin{aligned} \mathbf{w}_A^{(1)H} \mathbf{h}_A^{(1)} &= w_{12}^{(1)} h_{12} + w_{11}^{(1)} h_{11}^* + w_{14}^{(1)} h_{14}^* + w_{13}^{(1)} h_{13} + w_{22}^{(1)} h_{22} \\ &\quad + w_{21}^{(1)} h_{21}^* + w_{24}^{(1)} h_{24}^* + w_{23}^{(1)} h_{23} = \left(\mathbf{w}_p^{(1)H} \mathbf{h}_p^{(1)}\right)^* = b^* \end{aligned}$$

$$\mathbf{w}_A^{(1)H} \mathbf{h}_B^{(1)} = -\left(\mathbf{w}_p^{(1)H} \mathbf{h}_C^{(1)}\right)^* = 0$$

$$\mathbf{w}_A^{(1)H} \mathbf{h}_C^{(1)} = \left(\mathbf{w}_p^{(1)H} \mathbf{h}_B^{(1)}\right)^* = 0$$

$$\mathbf{w}_A^{(1)H} \mathbf{h}_p^{(2)} = -\left(\mathbf{w}_p^{(1)H} \mathbf{h}_A^{(2)}\right)^* = 0$$

$$\mathbf{w}_A^{(1)H} \mathbf{h}_A^{(2)} = \left(\mathbf{w}_p^{(1)H} \mathbf{h}_p^{(2)}\right)^* = 0$$

$$\mathbf{w}_A^{(1)H} \mathbf{h}_B^{(2)} = -\left(\mathbf{w}_p^{(1)H} \mathbf{h}_C^{(2)}\right)^* = 0$$

$$\mathbf{w}_A^{(1)H} \mathbf{h}_C^{(2)} = \left(\mathbf{w}_p^{(1)H} \mathbf{h}_B^{(2)}\right)^* = 0$$



さらに、 $w_B^{(1)}$, $w_C^{(1)}$ に対しても、同様な結果が得られ、まとめて整理すると

$$\begin{pmatrix} w_p^{(1)} & w_A^{(1)} & w_B^{(1)} & w_C^{(1)} \end{pmatrix}^H H_e = \begin{pmatrix} b & 0 & 0 & 0 & 0 & 0 & 0 & 0 \\ 0 & b^* & 0 & 0 & 0 & 0 & 0 & 0 \\ 0 & 0 & b^* & 0 & 0 & 0 & 0 & 0 \\ 0 & 0 & 0 & b & 0 & 0 & 0 & 0 \end{pmatrix}$$

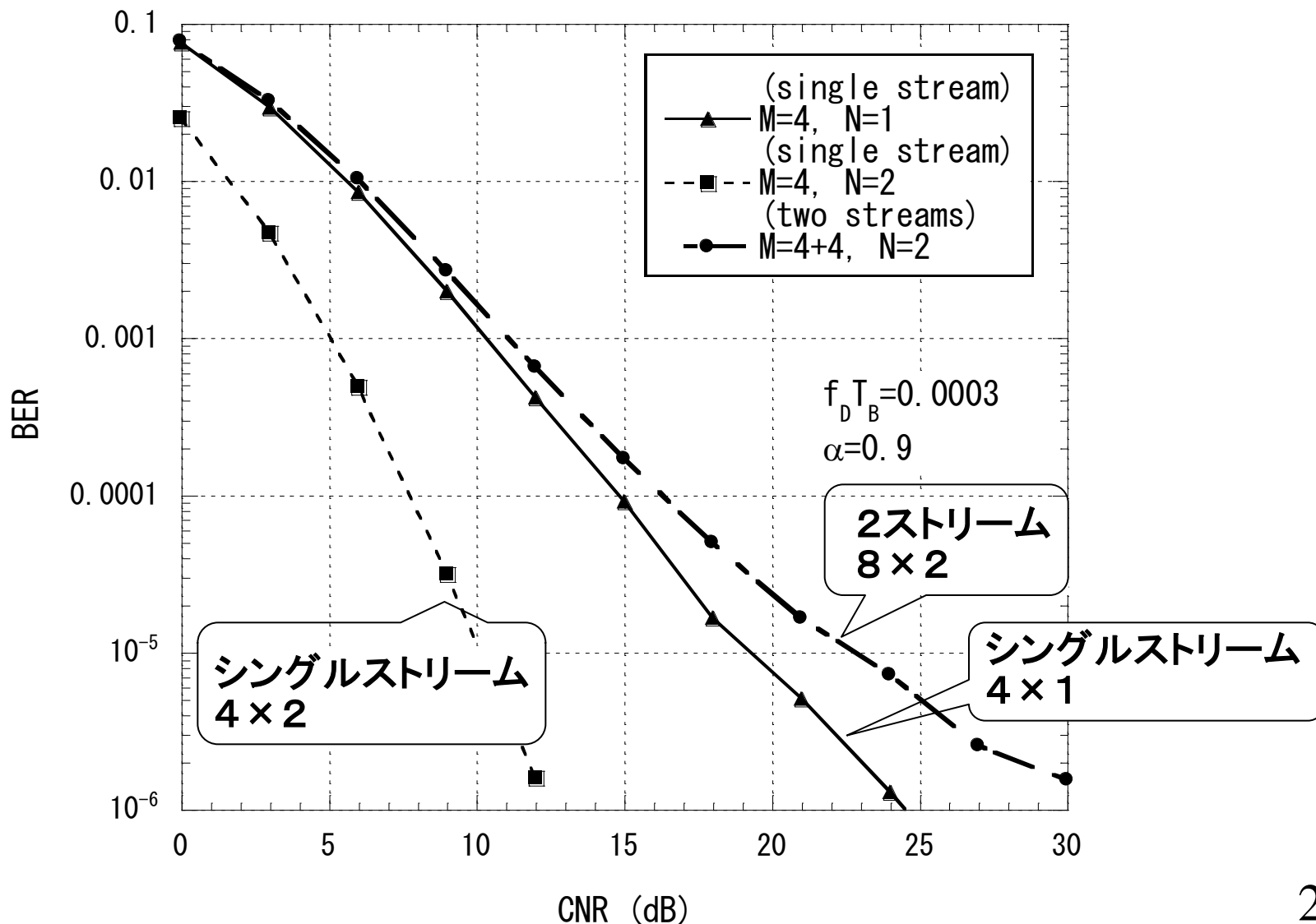
さらに、 $p^{(2)}$ をパイロット信号とするアダプティブアレーから $w_p^{(2)}$ を定め、同様な手順で $w_A^{(2)}$, $w_B^{(2)}$, $w_C^{(2)}$ に変換し、かつ、パイロット信号 $p^{(1)}$ で行ったと同じ仮定をすると、同様な結果が得られ、全部まとめると

$$W^H H_e = \text{diag}(b \quad b^* \quad b^* \quad b \quad b \quad b^* \quad b^* \quad b)$$

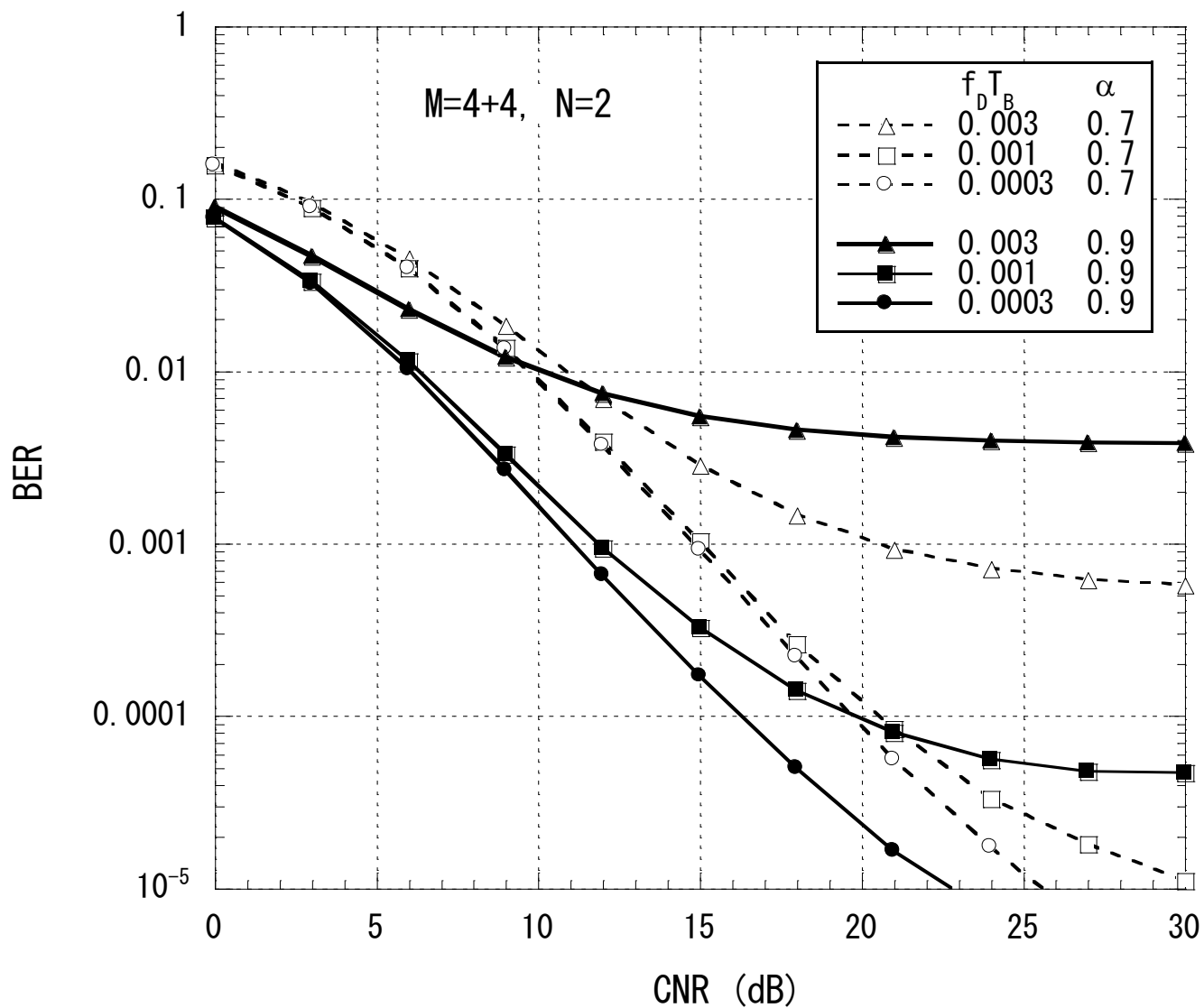
経験的に見出していた方法が、理論的にも妥当であることを示した。白紙の状態から、理論式を導いたわけではない。



1ストリームおよび2ストリーム伝送におけるPSAM-QOSTBC AAのBER特性



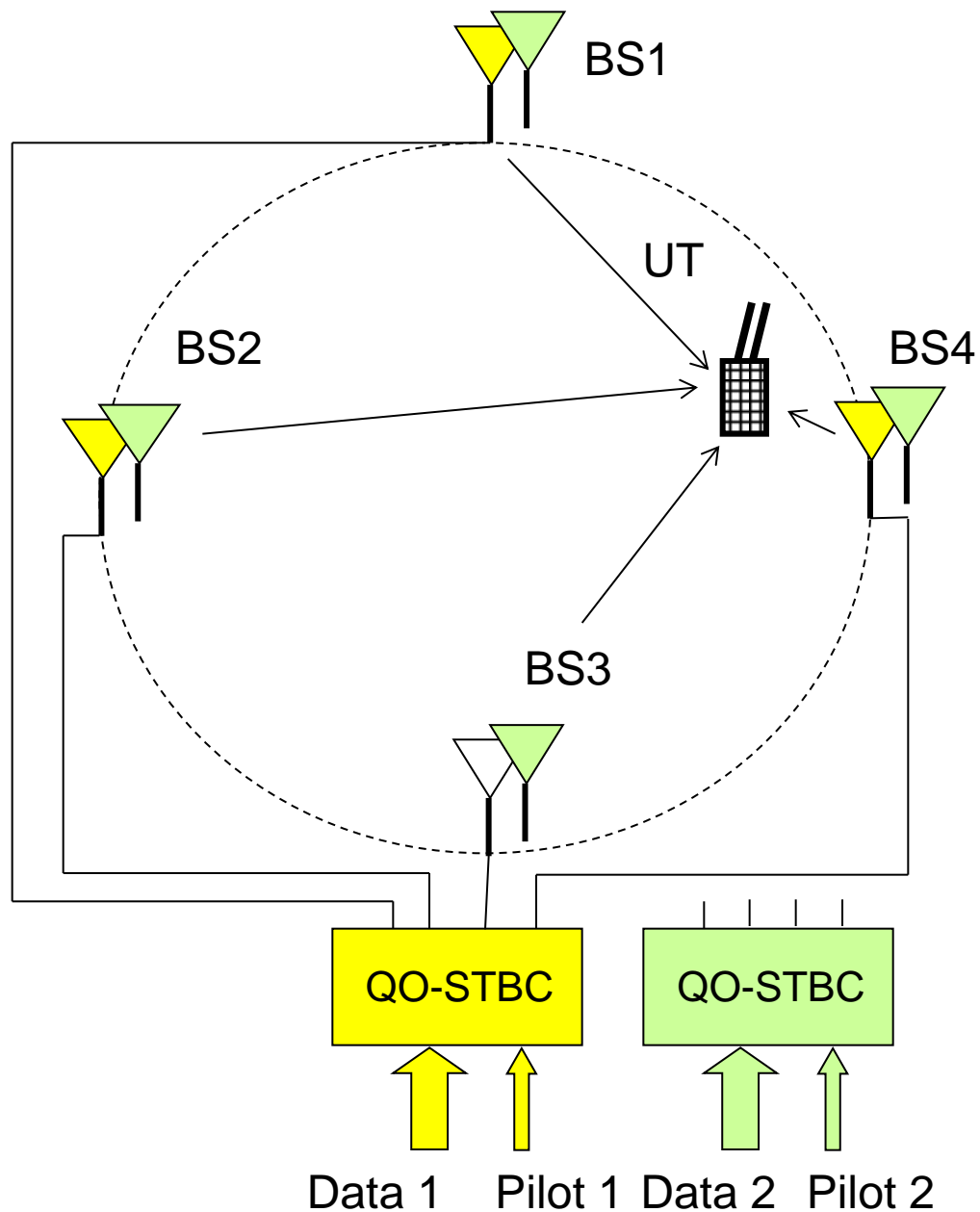
BER特性の忘却係数依存性





MIMOマルチ ストリーム伝送 の分散アンテナシステム (DAS)への応用

M=4, N=2 での
2ストリーム伝送





まとめ

- 1) PSAM QO-STBC アダプティブアレー動作アルゴリズムの理論的根拠を示した。
- 2) 送信アンテナ4本、受信アンテナ1本のMISO構成のシングルストリーム伝送に対して、送信アンテナ8本、受信アンテナ2本のMIMO構成による2ストリーム伝送(伝送レートを2倍にできる)では、ほぼ同程度のBER特性が実現できることを、理論および計算機シミュレーションにより示した。

謝辞: 本理論解析に関しては、筆者(唐沢)が、昨年11月の発表[6]を行った際の北大大鐘武雄博士とのディスカッションが、隘路を開くきっかけになった。ここに謝意を表す。